Fourier Methods for Computational Analysis of Enharmonicism and Other Harmonic Properties.

Méthodes basées sur la Transformée de Fourier pour l'analyse computationnelle de l'enharmonie et des autres propriétés harmoniques

Jason Yust, BOSTON UNIVERSITY.
http:/people.bu.edu/jyust

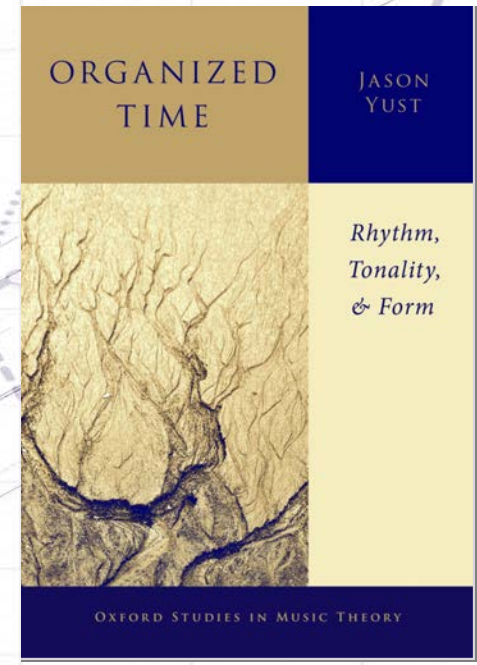

Journées d'informatique musicale
Strasbourg, 26 octobre, 2020.

Méthode: Analyse par fênetrage

Vecteurs des classes de hauteurs pour deux noires

(1,0,0,1,0,0,0,0,0,1,2,0)

(2,0,0,2,0,0,0,0,0,2,2,0)

(2,0,1,3,1,0,1,0,0,2,2,0)

etc.

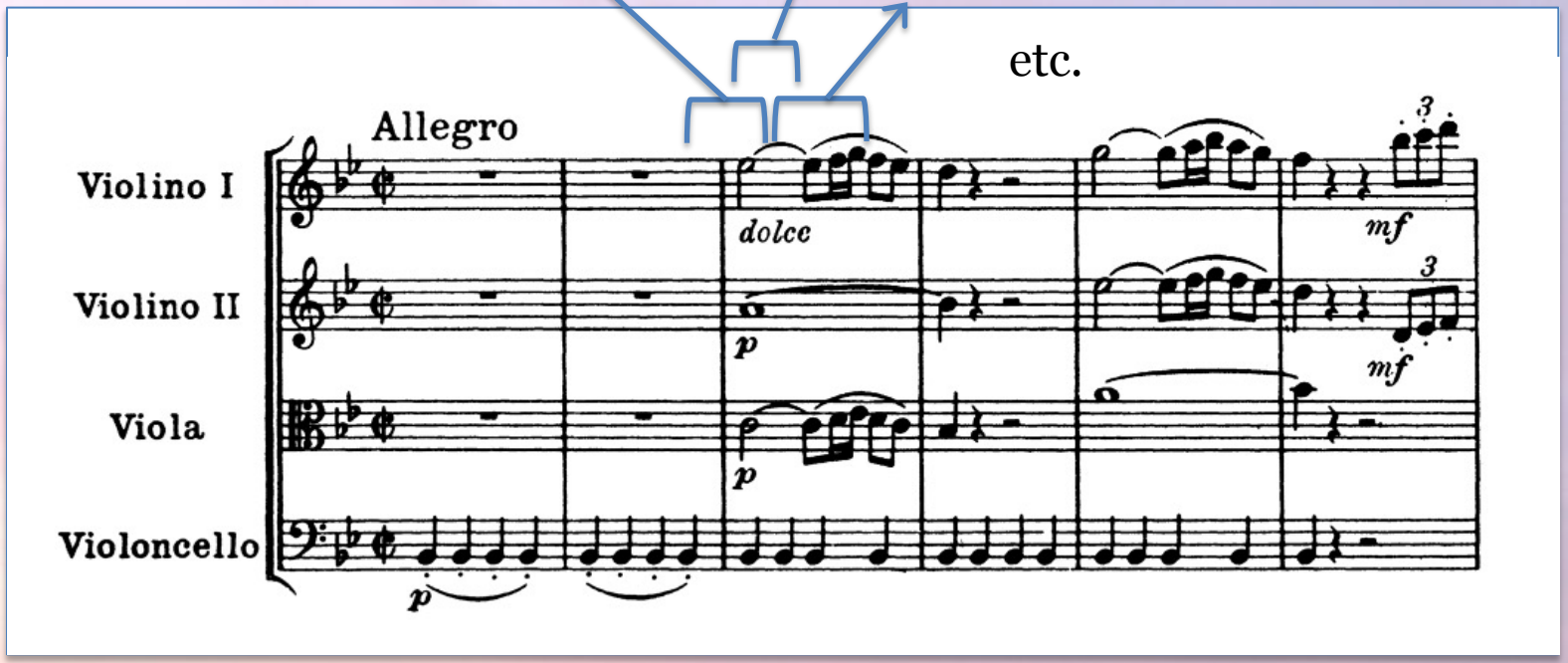

Méthode: Analyse par fênetrage

Vecteurs des classes de hauteurs pour quatre noires

(4,0,2,5,0,2,0,1,0,4,4,0)

(3,0,3,4,0,2,0,1,0,3,6,0)

etc.

Coefficients de la TFD

Triad de do majeur = f_0 + f_1 + f_2

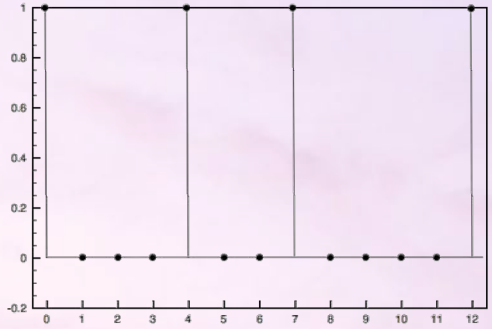
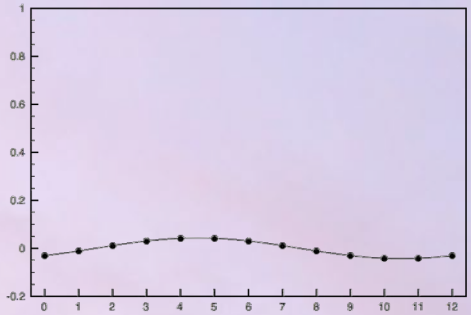
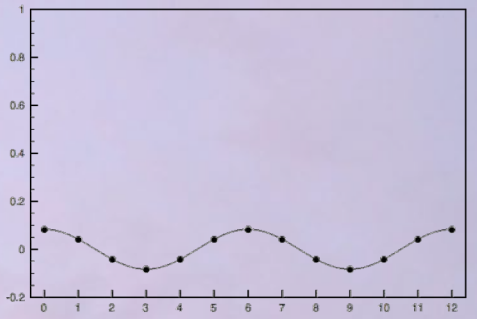

+ f_3 + f_4 + f_5 + f_6 + . . .

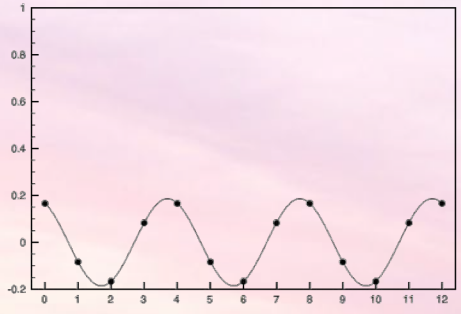
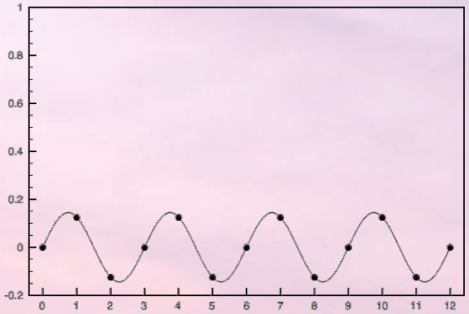
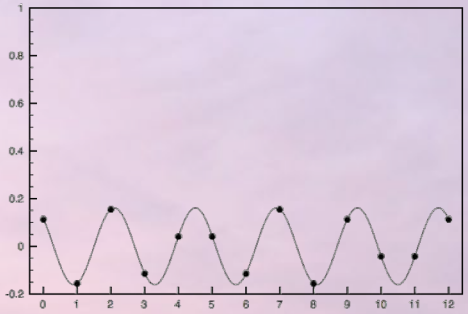
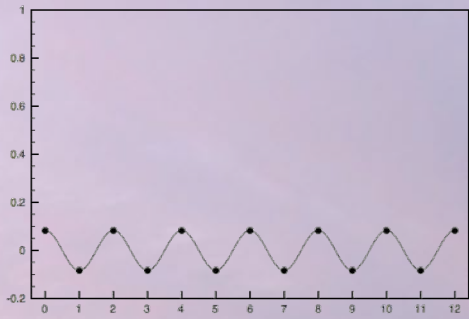

La TFD transforme un vecteur des classes des hauteurs en douze fonctions periodiques

Analyse TFD données de Prince et Schmuckler

Majeur:

Composer	$\|f_1\|^2$	$\|f_2\|^2$	$\|f_3\|^2$	$\|f_4\|^2$	$\|f_5\|^2$	$\|f_6\|^2$	Ph_1	Ph_2	Ph_3	Ph_4	Ph_5	Ph_6
Bach	2	79	150	10	2095	2	9.89	0.96	0.38	3.74	1.96	6
Mozart	9	243	310	1	2158	4	9.34	11.91	0.96	8.04	1.66	0
Beethoven	4	182	287	7	1427	0	8.31	11.53	1.34	6.43	1.53	6
Schubert	7	127	337	18	1931	0	8.25	0.18	1.06	7.70	1.65	0
Chopin	10	186	357	1	1638	1	7.43	11.72	1.03	8.22	1.26	0
Brahms	2	49	224	5	1009	2	7.74	0.27	0.68	9.37	1.59	0
Liszt	5	85	402	30	394	43	6.21	0.12	0.68	9.37	1.59	0
Scriabin	11	117	352	47	2154	2	8.93	1.09	0.89	7.12	1.93	6

Mineur:

Composer	$\|f_1\|^2$	$\|f_2\|^2$	$\|f_3\|^2$	$\|f_4\|^2$	$\|f_5\|^2$	$\|f_6\|^2$	Ph_1	Ph_2	Ph_3	Ph_4	Ph_5	Ph_6
Bach	8	69	208	49	1489	3	8.72	10.80	2.29	2.60	11.60	6
Mozart	17	195	656	10	1515	6	8.97	10.53	2.24	0.15	11.91	6
Beethoven	2	239	457	5	1150	16	6.33	10.18	2.51	1.73	11.70	6
Schubert	9	238	540	14	1815	1	9.20	10.47	2.62	11.76	11.93	0
Chopin	0	149	336	6	1002	6	6.57	10.36	2.39	2.21	11.88	6
Brahms	9	194	390	2	847	19	8.23	9.89	1.87	2.14	11.68	6
Liszt	0	254	651	1	1179	14	4.83	10.75	1.75	1.30	0.40	6
Scriabin	5	237	399	48	1524	19	10.10	10.88	1.25	0.61	11.91	0

From Yust, J. 2017. “Probing Questions about Keys: Tonal Distributions through the DFT.” *Mathematics and Computation in Music* 2017.

Prince, J.B. & Schmuckler, M.A. 2014. “The Tonal-Metric Hierarchy: A Corpus Analysis.” *Music Perception* 31.

Résultats de Yust 2019

Analyse des pièces entières de Yale Classical Archives

Yust, J. 2019 “Stylistic Information in Pitch-Class Distributions.” *Journal of New Music Research* 48/3

Majeur:

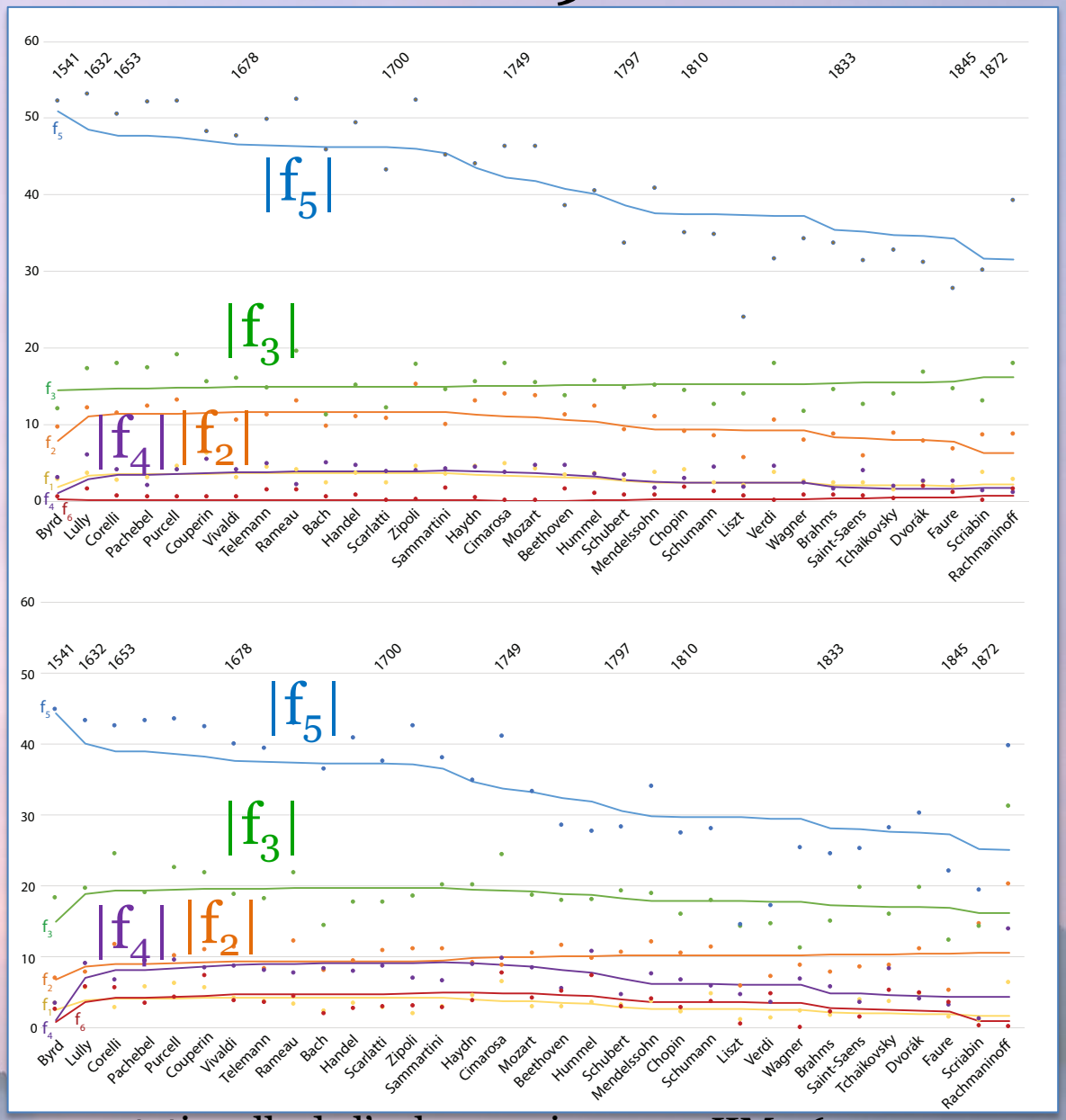

Mineur:

Exemple: Haydn Op. 50/1

Exposition, f_5:

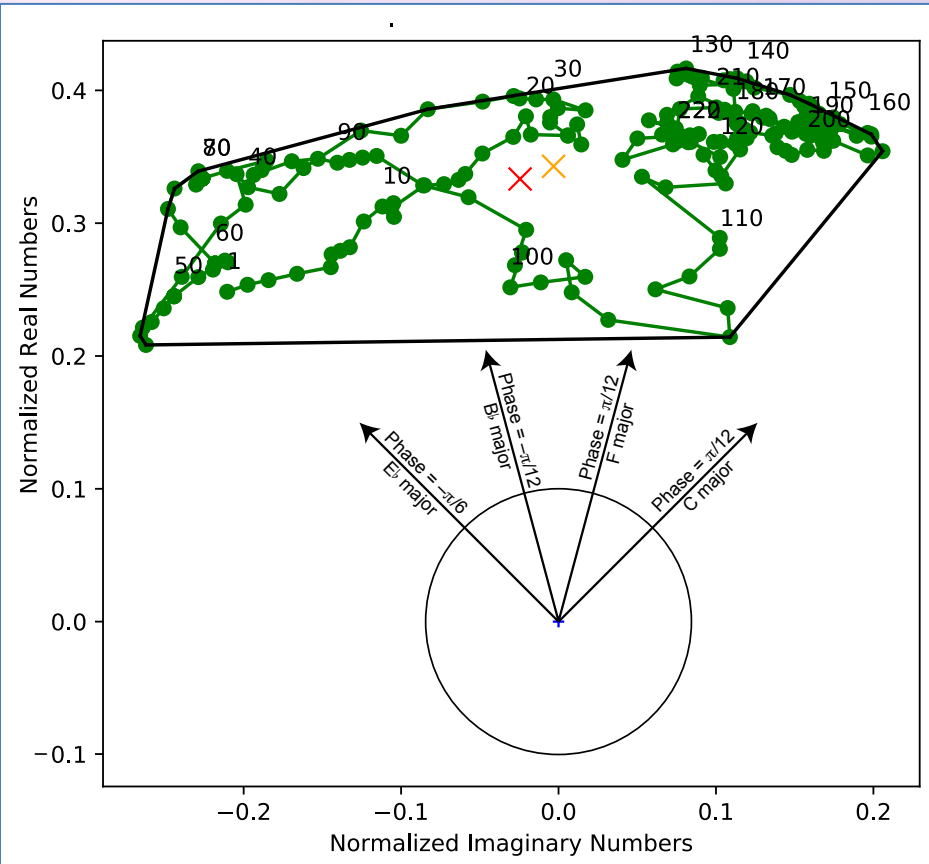

Développement, f_5:

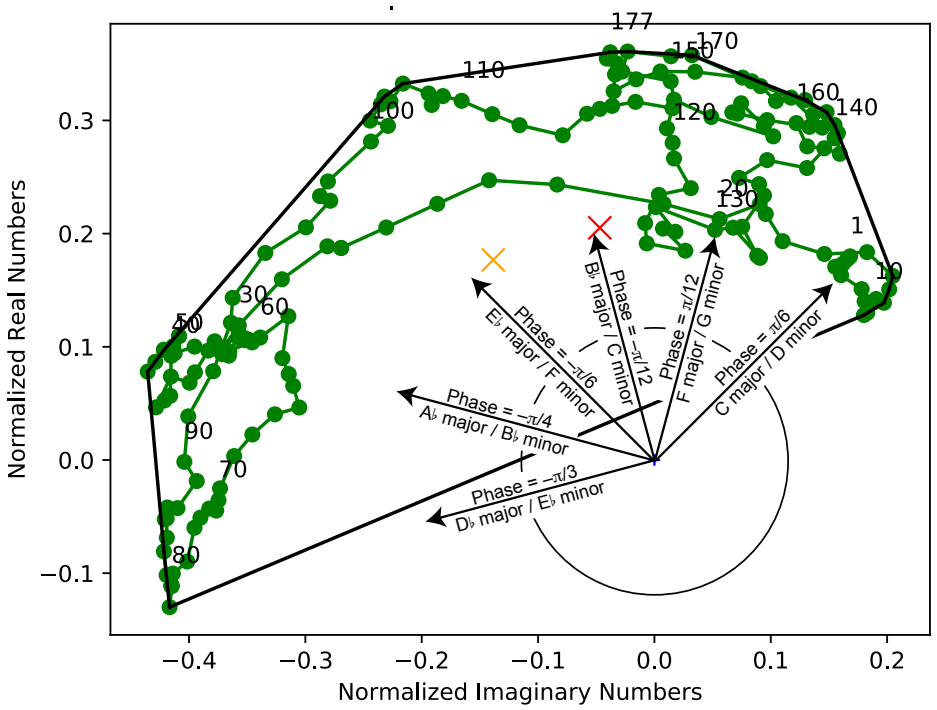

Aire de l'enveloppe convexe par taille de fenêtre

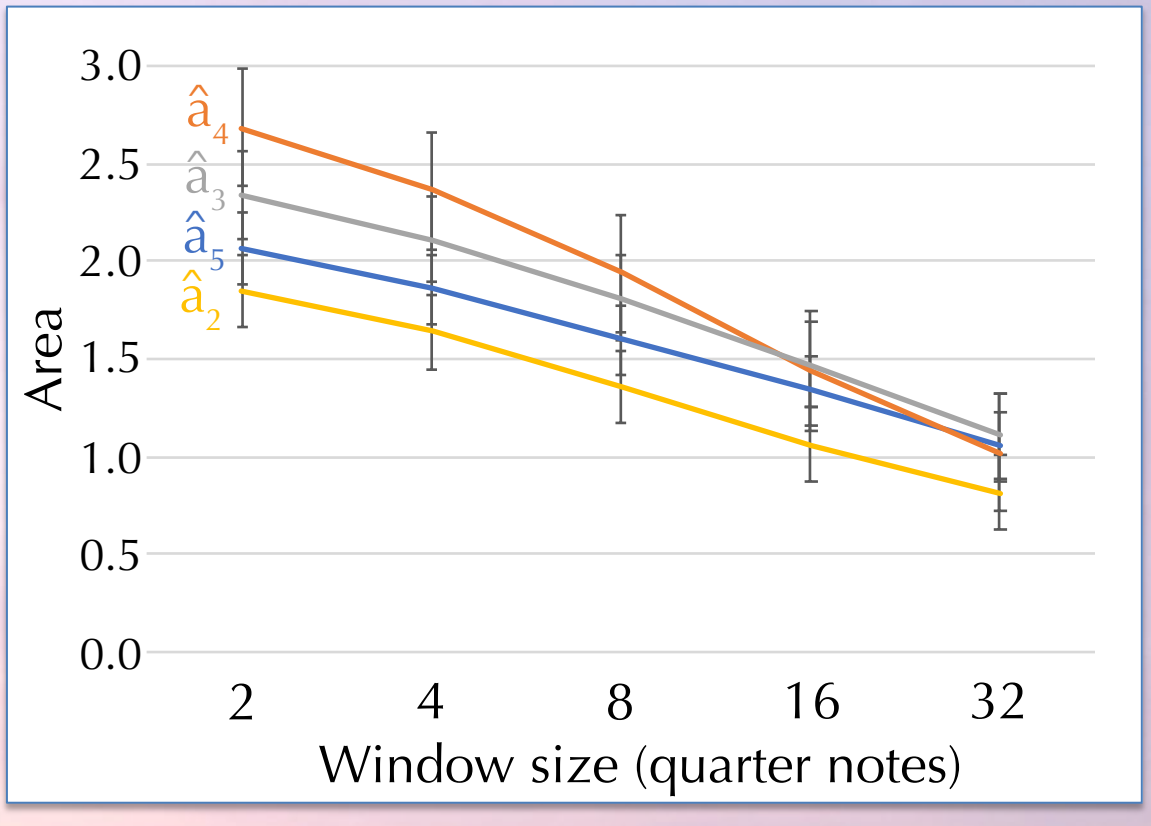

Distance de l'origine par taille de fenêtre

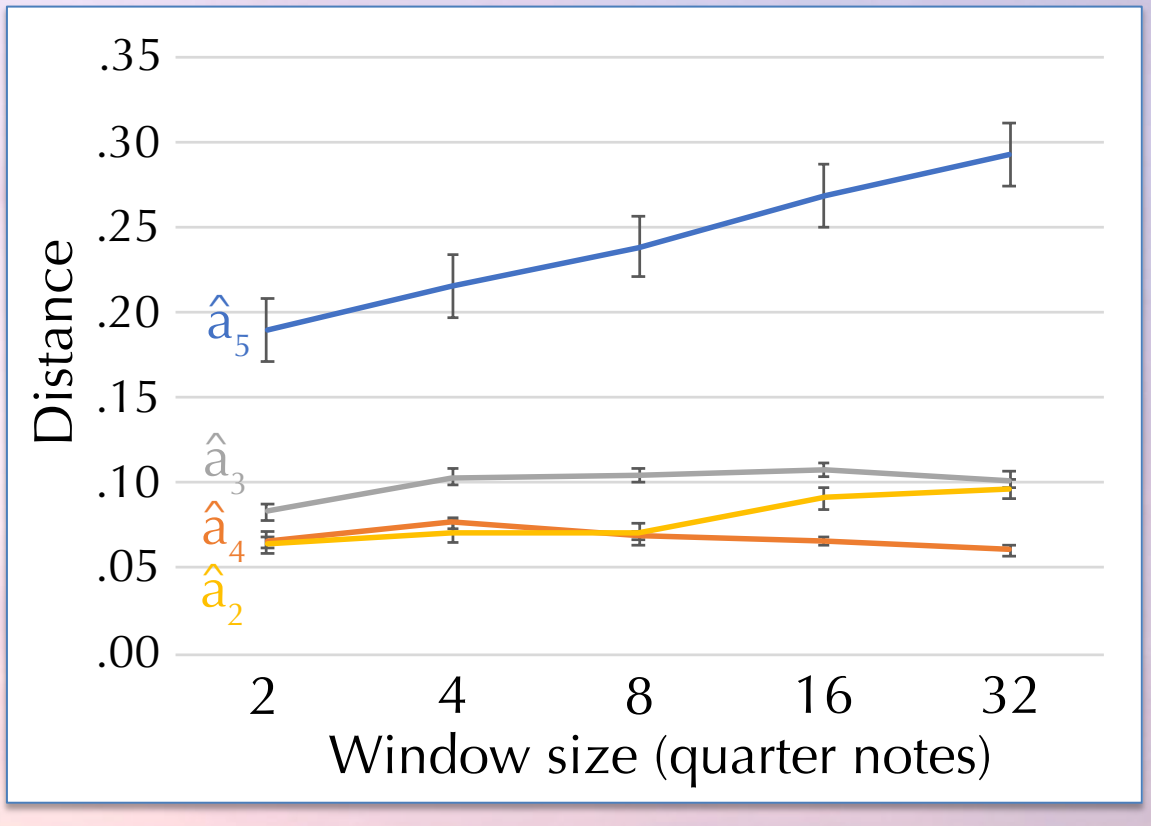

Modèle de régression pour les distances

Factor	Coeff.	sig.
Date	-0.0002	—
Expo	0.0242	—
Recap	0.0282	—
$\hat{a}_3$	0.5824	—
$\hat{a}_4$	-5.050	$p < .01$
$\hat{a}_5$	4.766	$p < .01$
Minor	0.0114	—
Date$\times\hat{a}_3$	-0.0003	—
Date$\times\hat{a}_4$	0.0028	$p < .01$
Date$\times\hat{a}_5$	-0.0026	$p < .01$
Expo$\times\hat{a}_3$	-0.0008	—
Recap$\times\hat{a}_3$	0.0214	—
Expo$\times\hat{a}_4$	-0.0346	—
Recap$\times\hat{a}_4$	-0.0243	—
Expo$\times\hat{a}_5$	0.1080	$p < .0001$
Recap$\times\hat{a}_5$	0.0677	$p < .01$
Minor$\times\hat{a}_3$	0.0064	—
Minor$\times\hat{a}_4$	-0.0212	—
Minor$\times\hat{a}_5$	-0.0893	$p < .001$

Distance de l'origine par date pour f_3

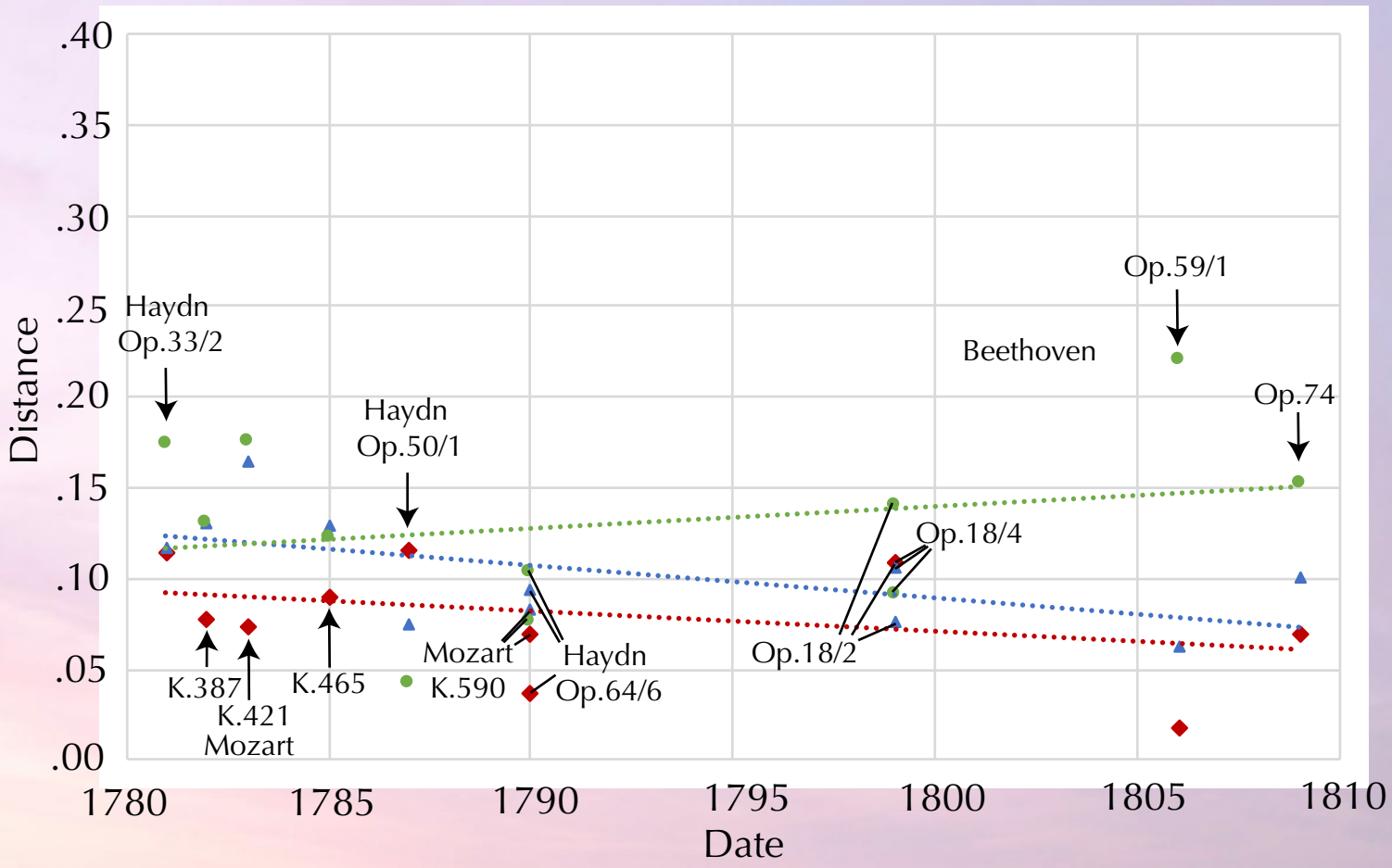

Verte: l'exposition, Rouge: le développement, Bleu: la réexposition

Distance de l'origine par date pour f_5

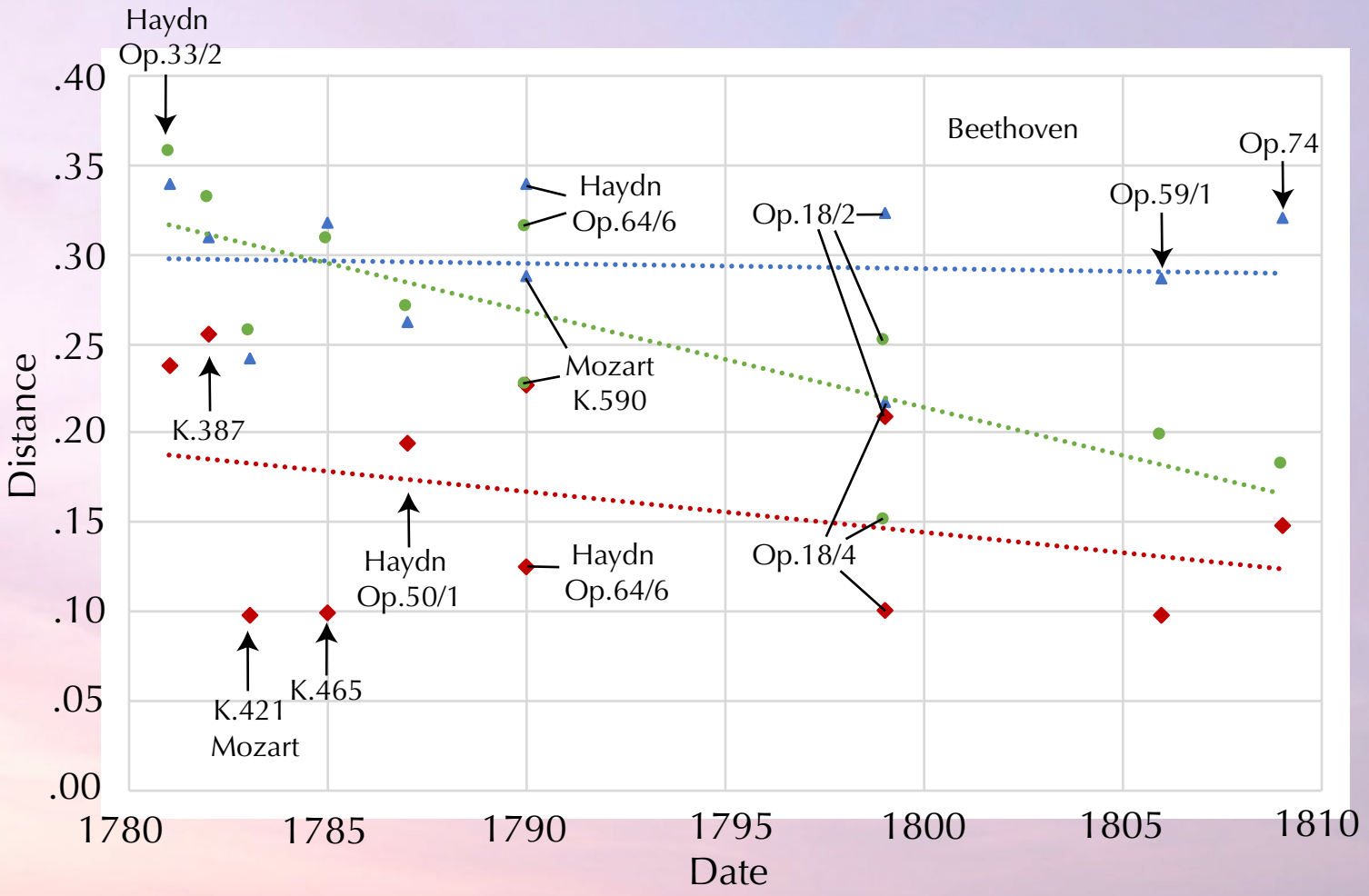

Verte: l'exposition, Rouge: le développement, Bleu: la réexposition

Distance de l'origine par date pour f_4

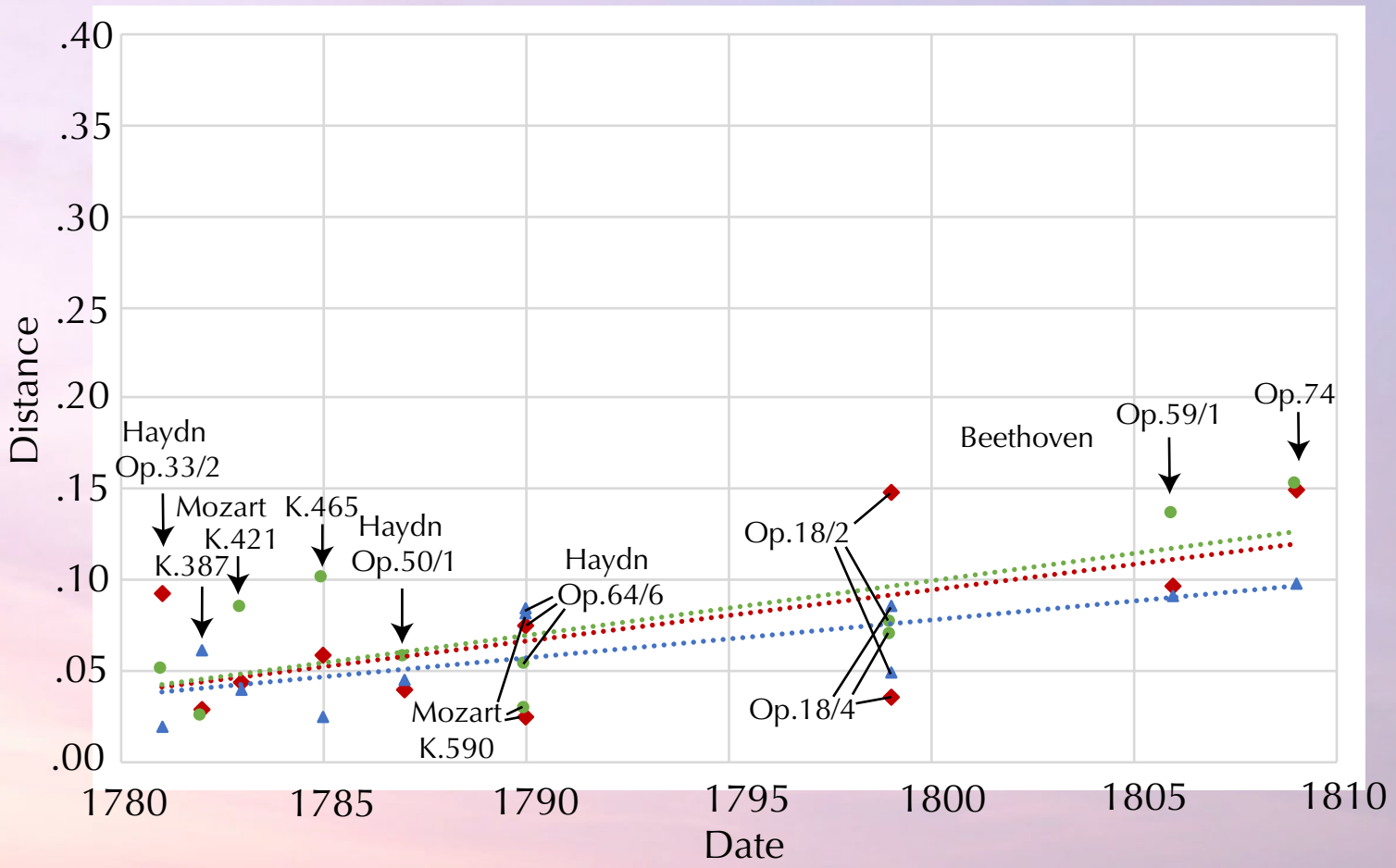

Verte: l'exposition, Rouge: le développement, Bleu: la réexposition

Modèle de régression pour les aires

Factor	Coeff.	sig.
Date	0.0237	$p < .0001$
Expo	−0.2901	$p < .0001$
Recap	−0.3512	$p < .0001$
$\hat{a}_3$	0.3741	$p < .01$
$\hat{a}_4$	0.1424	—
$\hat{a}_5$	0.0850	—
Haydn	0.2738	$p < .01$
Mozart	0.3041	$p < .01$
Minor	0.1463	$p < .01$
Length	0.0005	—
Length$\times\hat{a}_3$	0.0003	—
Length$\times\hat{a}_4$	0.0017	$p < .001$
Length$\times\hat{a}_5$	0.0002	—

L'aire de l'enveloppe convexe par date pour f_3

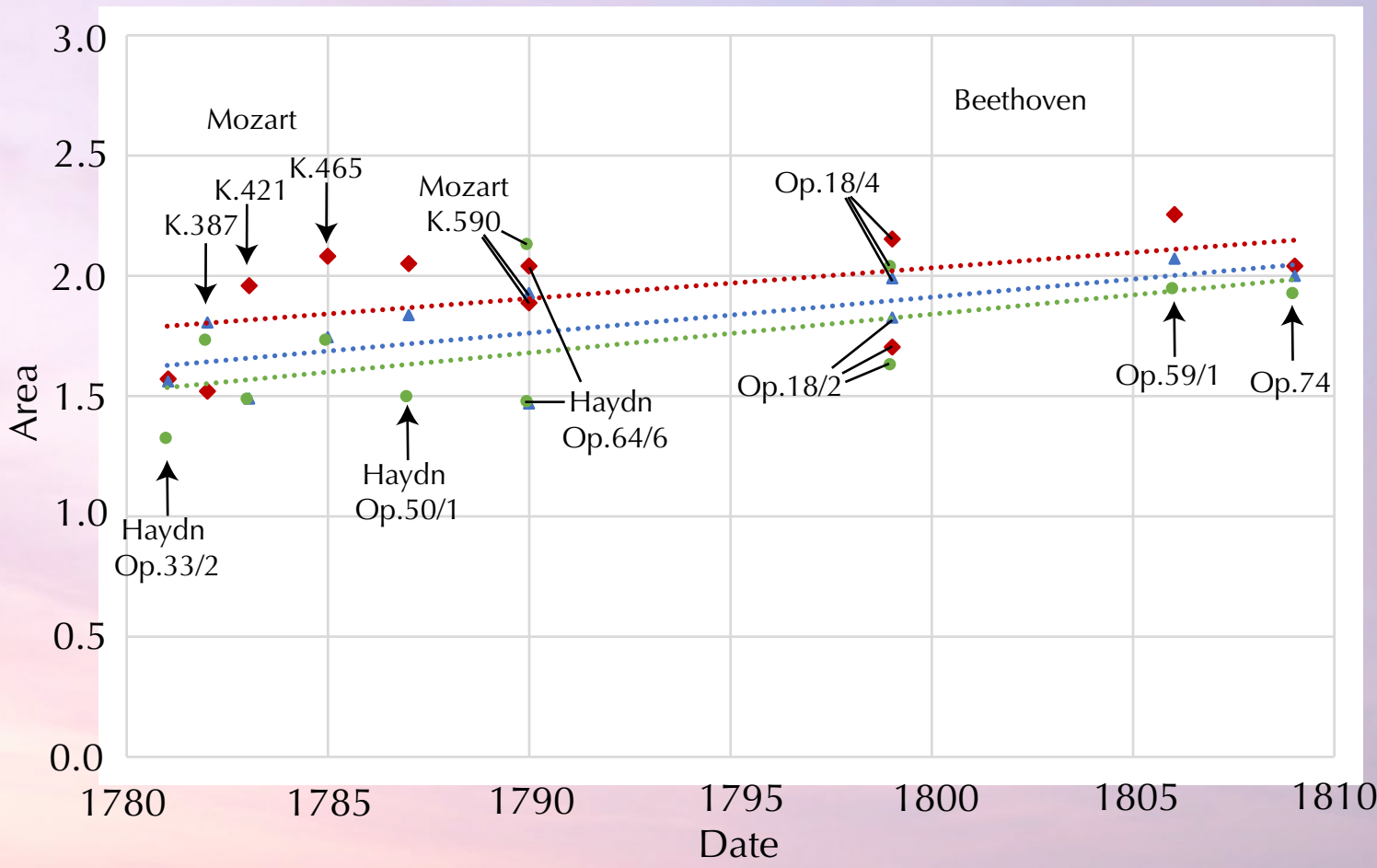

Verte: l'exposition, Rouge: le développement, Bleu: le réexposition

L'aire de l'enveloppe convexe par date pour f_5

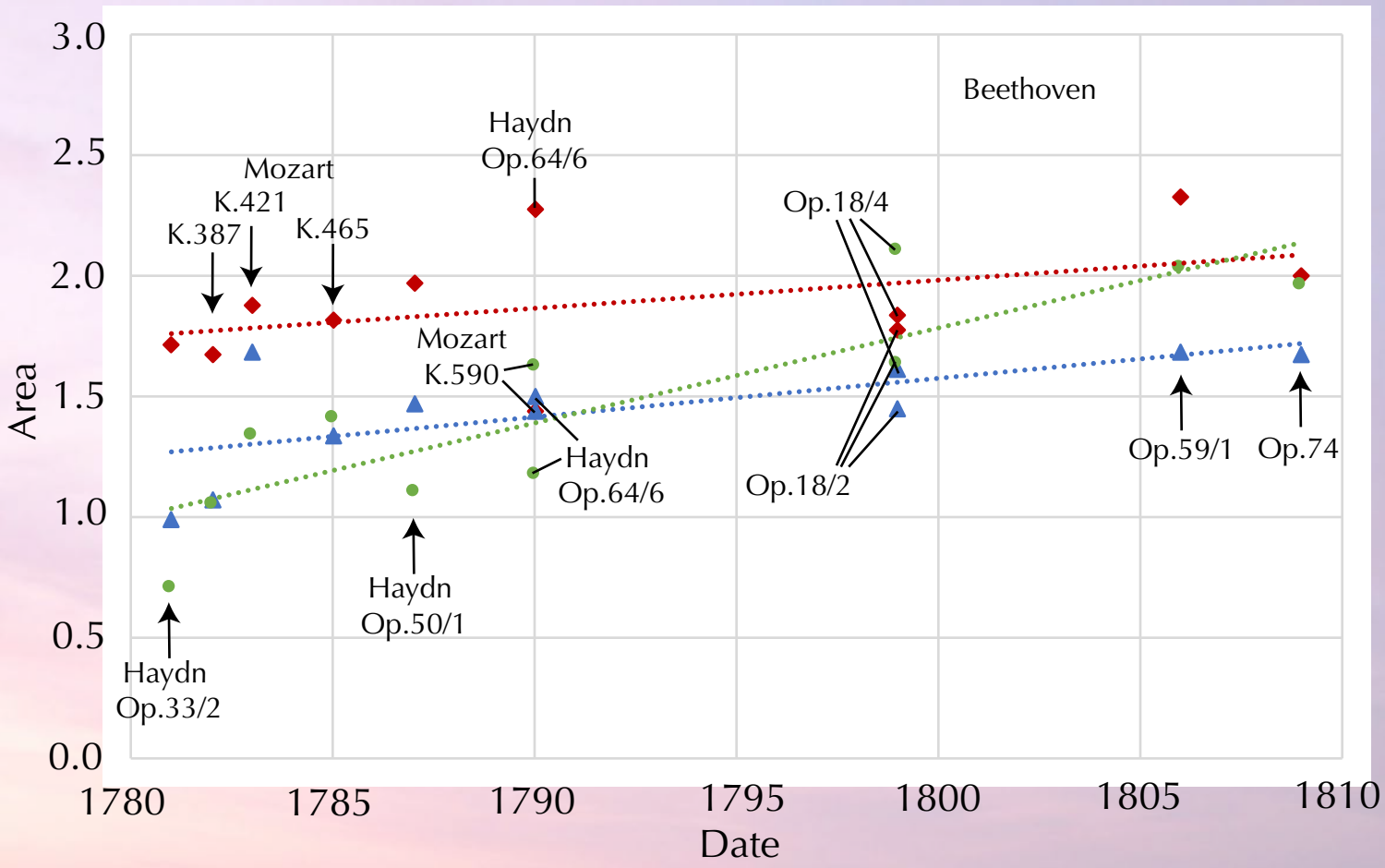

Verte: l'exposition, Rouge: le développement, Bleu: la réexposition

L'aire de l'enveloppe convexe par date pour f_4

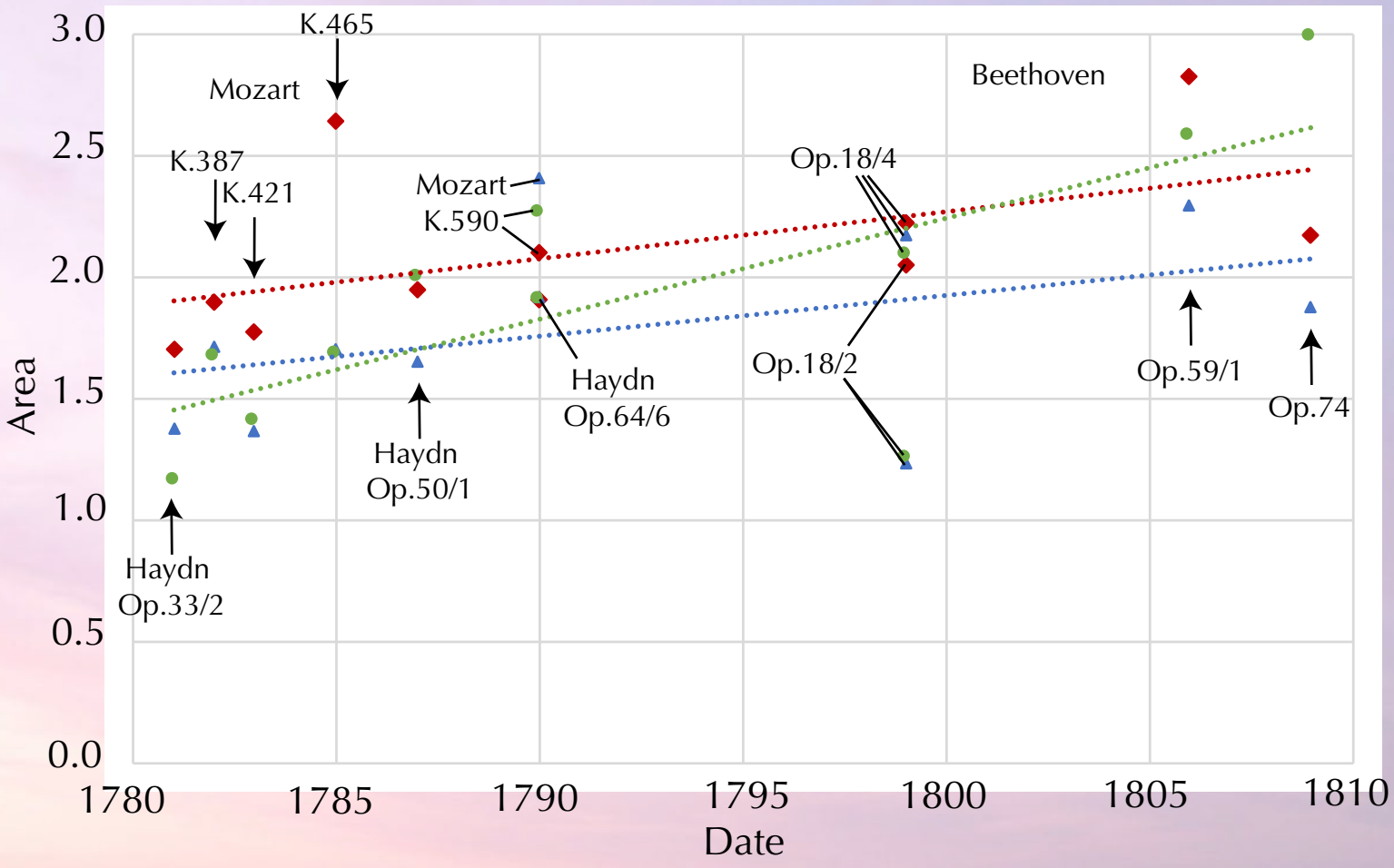

Verte: l'exposition, Rouge: le développement, Bleu: la réexposition

Exemples d'enharmonie

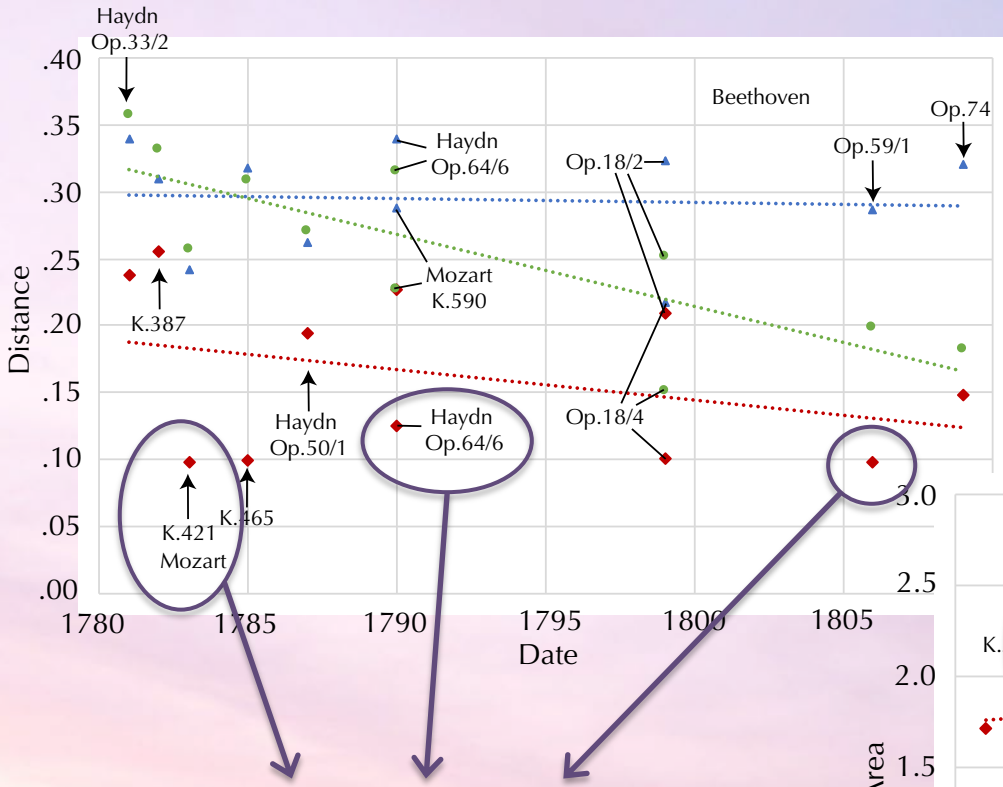

Distance minimale

Aire maximale

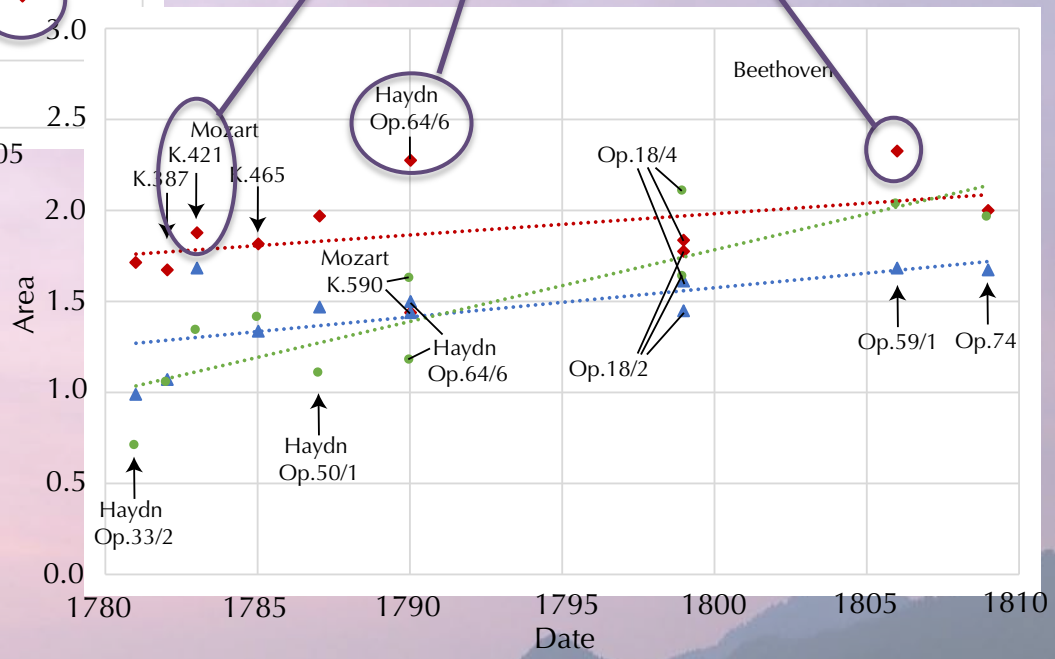

Verte: l'exposition, Rouge: le développement, Bleu: le réexposition

Mozart K.421, Développement

Mozart K.421, Développement

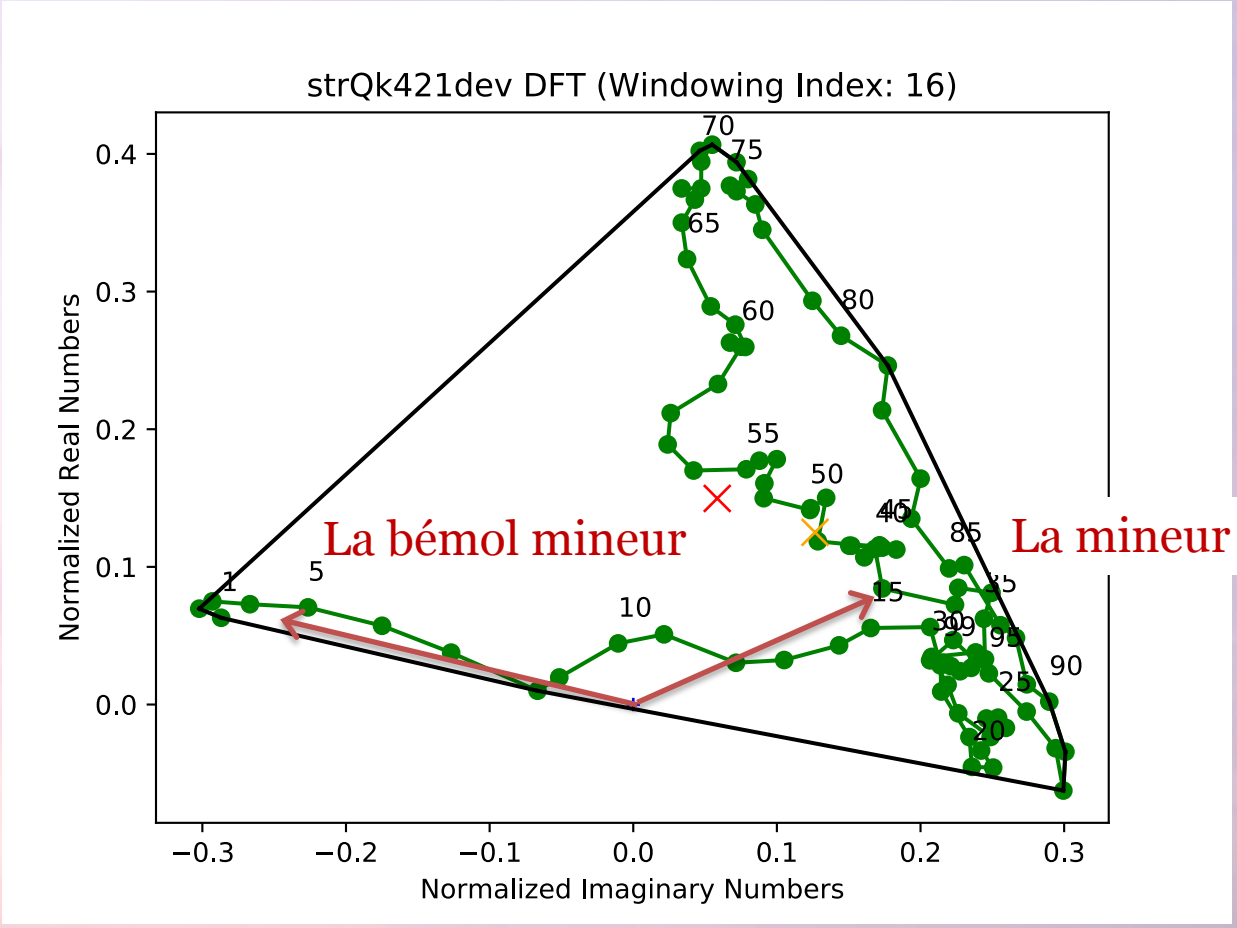

Haydn Op. 64 no. 6, Développement

Mi bémol

Sol bémol majeur

Do mineur (dominante)

Haydn Op. 64 no. 6, Développement

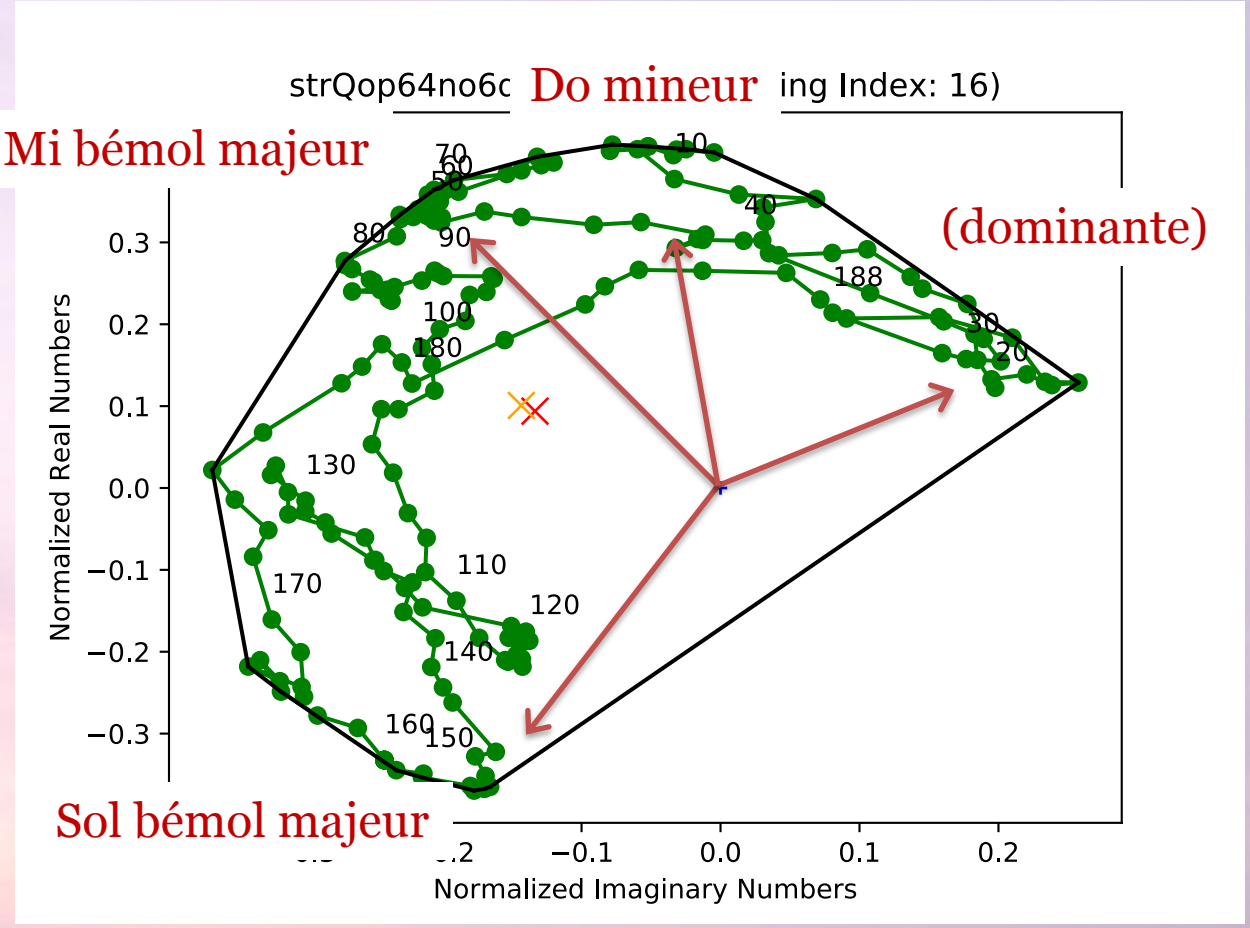

Beethoven Op. 59 no. 1, Développement

Mi bémol majeur (napolitaine) La majeur (dominante)

Beethoven Op. 59 no. 1, Développement

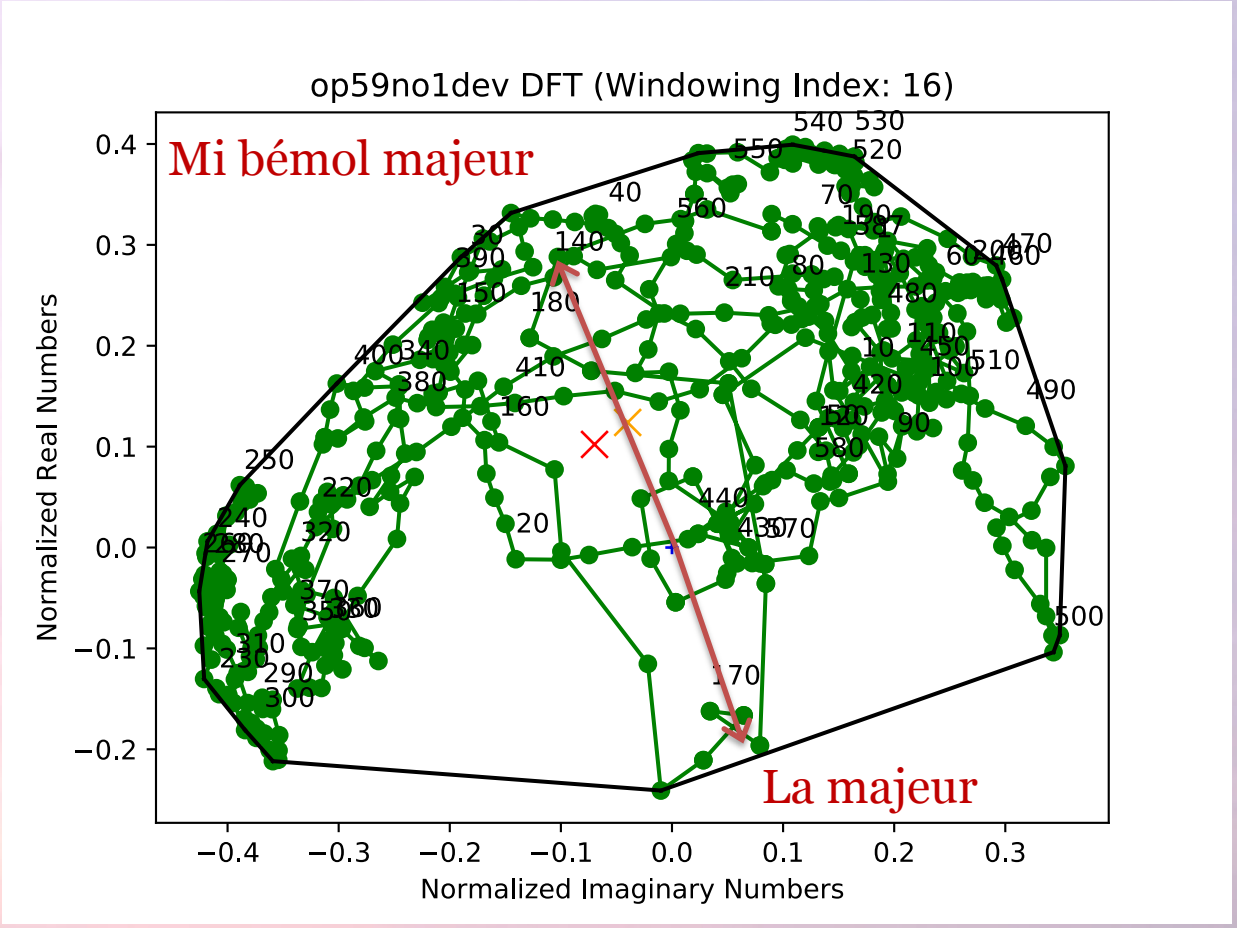

Fourier Methods for Computational Analysis of Enharmonicism and Other Harmonic Properties.

Méthodes basées sur la Transformée de Fourier pour l'analyse computationnelle de l'enharmonie et des autres propriétés harmoniques

Jason Yust, BOSTON UNIVERSITY.
http:/people.bu.edu/jyust

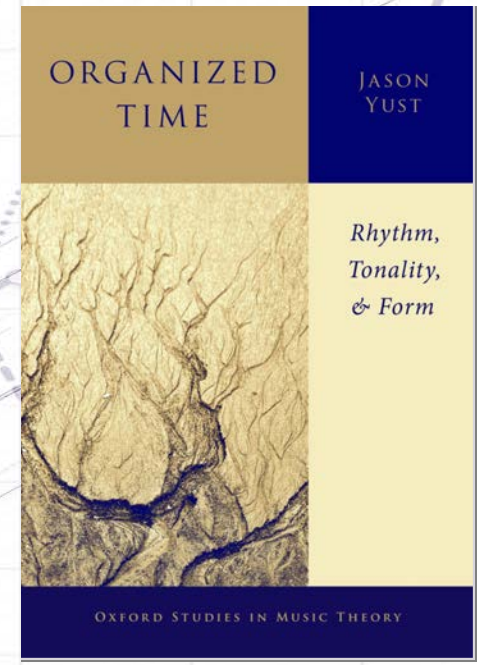

Journées d'informatique musicale
Strasbourg, 26 octobre, 2020.